УДК 621.391.01

П. В. ИВАНЮК, д. ф.-м. н. Л. Ф. ПОЛИТАНСКИЙ, к. ф.-м. н. Р. Л. ПОЛИТАНСКИЙ, О. М. ЭЛИЯШИВ

Украина, Черновицкий национальный университет имени Юрия Федьковича E-mail: ivanyukpetro@ukr.net

ХАОТИЧЕСКОЕ МАСКИРОВАНИЕ ИНФОРМАЦИОННЫХ СИГНАЛОВ С ИСПОЛЬЗОВАНИЕМ ГЕНЕРАТОРА НА БАЗЕ СИСТЕМЫ ЛЮ

В работе рассчитан спектр показателей Ляпунова для хаотической системы Лю. Показана возможность установки режима синхронизации между генераторами, основанными на исследованной системе. Экспериментально реализована система передачи информации с использованием генераторов хаотических колебаний.

Ключевые слова: хаос, гиперхаос, хаотическое маскирование, хаотическая синхронизация, система Лю, спектр показателей Ляпунова.

Детерминированный хаос применяется в различных отраслях инженерии, в частности в телекоммуникационных системах, базирующихся на этом явлении. Примерами динамических систем с хаотическим поведением могут служить системы Лоренца, Спротта, Ресслера и др. В последние годы были разработаны новые системы, которые при определенных условиях генерируют хаотические и гиперхаотические колебания. В частности, это системы Лю (Liu System)

[1, 2] и Чена (Chen's model) [3], являющиеся модификациями системы Лоренца.

Широкополосность, ортогональность, сложность структуры хаотических сигналов и сильная чувствительность к начальным условиям обусловливают перспективность их использования в системах связи для повышения криптоустойчивости. Это делает актуальным исследование их свойств, поиск путей аппаратной реализации генераторов хаотических колебаний и систем связи с их использованием.

Целью настоящей работы является определение значений параметров, при которых в хаотической системе Лю генерируются хаотические, гиперхаотические, квазипериодические и периодические колебания, а также экспериментальная реализация системы передачи информации с использованием схемотехнических решений генераторов хаотических колебаний и системы связи на их основе.

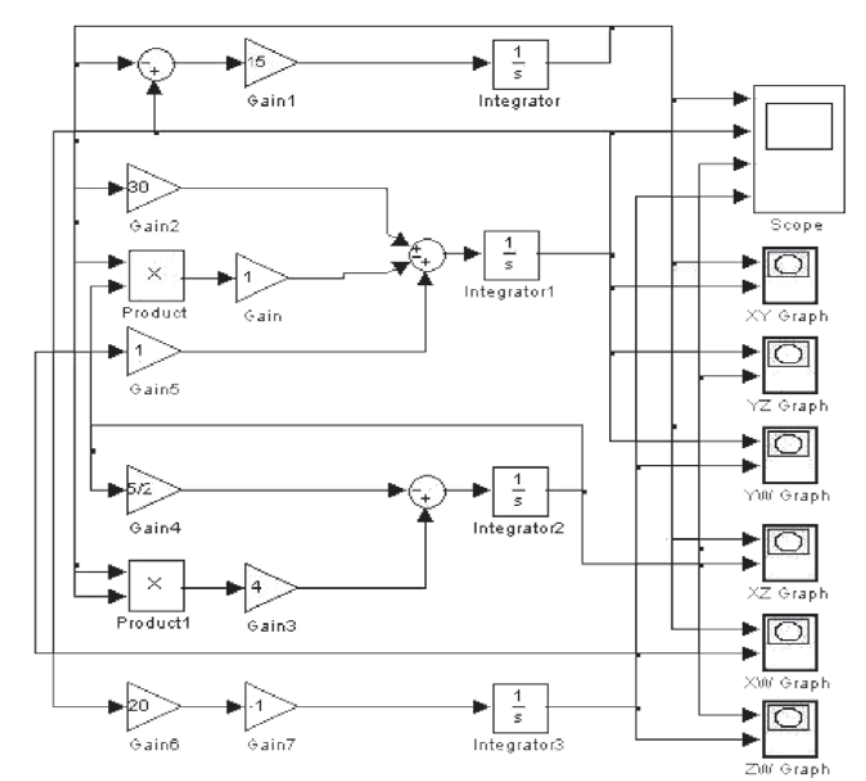
Математическая модель исследуемой системы

Гиперхаотическая система Лю описывается четырьмя нелинейными дифференциальными уравнениями первого порядка следующего вида [2]:

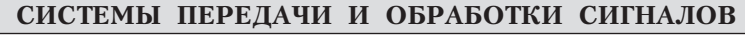
$$\dot{x} = a(y - x), \quad \dot{y} = bx - hxz + \lambda w,$$

$$\dot{z} = cx^2 - dz, \quad \dot{w} = -ny,$$
(1)

где x, y, z, w и $a, b, h, \lambda, c, d, n$ — переменные и константы соответственно.



Puc. 1. Matlab-Simulink-модель генератора гиперхаотических колебаний



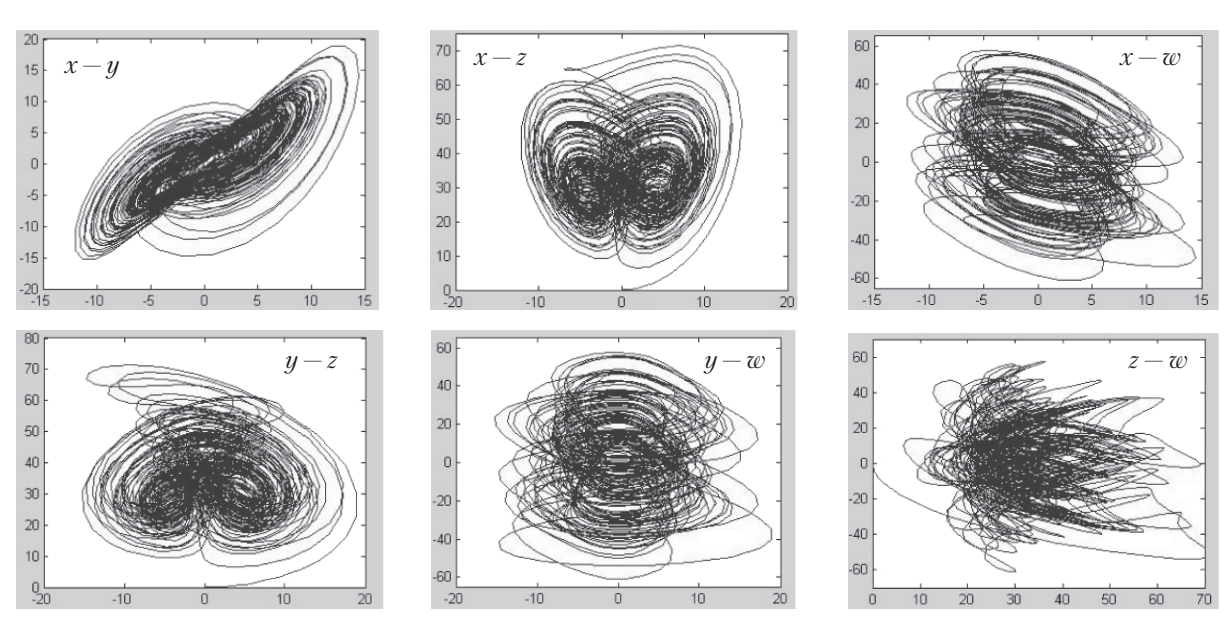


Рис. 2. Фазовые траектории системы в указанных на рисунках плоскостях

Для численного моделирования была разработана Matlab-Simulink-модель генератора гиперхаотических колебаний (**рис. 1**), состоящая из соединенных между собой блоков усиления, суммирования и вычитания, умножителей, интеграторов и устройств регистрации сигналов. Результаты моделирования системы при значениях параметров a=15, b=30, h=1, λ =1, c=4, d=2,5 приведены на **рис. 2**.

Определение спектра показателей Ляпунова

Существуют два подхода для описания хаотических сигналов [4, с. 26]. При первом считается, что процессы являются детерминированными, т. е. такими, которые реализуются с помощью определенного алгоритма, а их поведение во времени описывается соответственными математическими выражениями с заданными начальными условиями. При этом определяются фрактальная размерность аттракторов и показатели Ляпунова, являющиеся характеристиками системы. При втором подходе предполагается, что сигнал является случайным и непредсказуемым во времени процессом. В ходе наблюдения за множеством реализаций такого процесса можно оценить некоторые статистические закономерности во временной структуре сигнала, описывающиеся корреляционной функцией, спектральной плотностью мощности, математическим ожиданием и дисперсией.

Определение спектра показателей Ляпунова дает возможность установить диапазон значений параметров системы, при которых возникают гиперхаотические, хаотические, квазипериодические и периодические колебания.

Показатели Ляпунова характеризуют степень зависимости системы от начальных условий и определяют скорость расхождения ее траекторий в фазовом пространстве. Существует не-

сколько алгоритмов определения показателей Ляпунова. Первый предусматривает отслеживание изменения во времени фазовых траекторий двух динамических систем с близкими начальными условиями. Согласно второму алгоритму необходимо решить систему уравнений динамики, которая описывает движение точки вдоль фазовой траектории, совместно с уравнениями в вариациях, описывающими эволюцию бесконечно малого возмущения этой траектории [5, с. 153]. Первый способ используют в случае невозможности численного решения уравнений в вариациях.

При определении нескольких показателей Ляпунова необходимо отслеживать эволюцию соответствующего количества векторов возмущения вдоль фазовой траектории сигнала. Для системы, описываемой уравнениями (1), это количество равняется четырем.

Показатели Ляпунова исследуемой системы рассчитывались с использованием алгоритма Бенеттина с модификациями [4, 5]. При этом осуществлялось одновременное решение системы дифференциальных уравнений (1) и четырех систем уравнений в вариациях, имеющих следующий вид:

$$\dot{x}_1 = a(y_1 - x_1), \quad \dot{y}_1 = bx_1 - hzx_1 - hxz_1 + \lambda w_1,
\dot{z}_1 = 2cxx_1 - dz_1, \quad \dot{w}_1 = -ny_1.$$
(2)

Система из двадцати уравнений решалась численным методом Рунге — Кутта с перенормировкой и ортогонализацией векторов возмущения в процессе вычислений для указанных выше значений параметров a, b, h, λ, c, d . Для каждого значения параметра n \in (1, 100] определялись показатели Ляпунова при нормировании на единицу начальных ортогональных векторов возмущения x_0, y_0, z_0, w_0 . Расчет завершался орто-

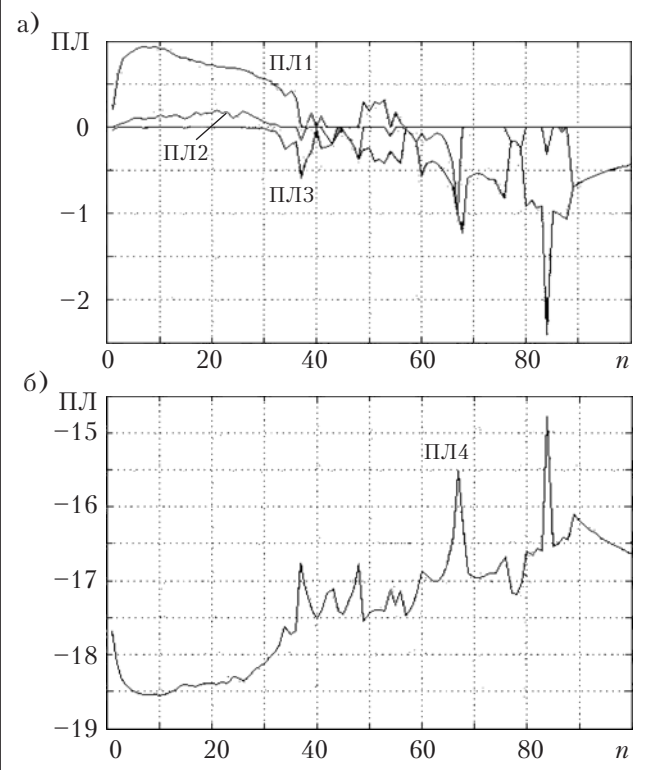


Рис. 3. Спектр показателей Ляпунова для системы уравнений (1):

a — первые три показатели; δ — четвертый показатель

гонализацией и нормализацией на фиксированную константу векторов возмущения согласно методу Грамма—Шмидта [6]. Рассчитанный спектр показателей Ляпунова (ПЛ) приведен на рис. 3.

Как следует из рис. 3, 6, четвертый ПЛ отрицателен для любого значения n. Его минимальное значение составляет -18,58 при n=10 и максимальное -14,78 при n=84.

Периодические колебания имеют место при отрицательных значениях трех показателей Ляпунова и равенстве нулю четвертого. При отрицательных значениях двух ПЛ и двух нулевых значениях наблюдаются квазипериодические колебания. Хаотические колебания имеют место при условии, что значение одного из ПЛ равно нулю, значения одного — положительное, а два остальных — отрицательные. Гиперхаотические колебания наблюдаются при двух положительных значениях показателя Ляпунова из четырех.

Из полученных результатов следует, что при значениях $n \in (0, 33]$ система имеет два положительных ПЛ, и, как следствие, в ней возникают гиперхаотические колебания. При значениях $n \in (38, 42]$ и $n \in (48, 57]$ система имеет один положительный ПЛ, т. е. в системе будут иметь место хаотические колебания. При значениях $n \in (42, 48]$, (57, 68], (76, 80], (83, 100] системой генерируются периодические колебания. При значениях $n \in (68, 76]$, (80, 83] имеют место квазипериодические колебания.

Синхронизация генераторов хаотических колебаний

Существует множество методов синхронизации хаотических систем — полная, обобщенная, фазовая, опережающая и др. [7]. Под полной синхронизацией понимают точное совпадение векторов состояний взаимодействующих между собой систем. Это возможно при идентичности их параметров.

Режим синхронизации двух идентичных хаотических систем Лю, функциональная схема которой приведена на **рис. 4**, обеспечивался путем установления между ними обратной линейной связи.

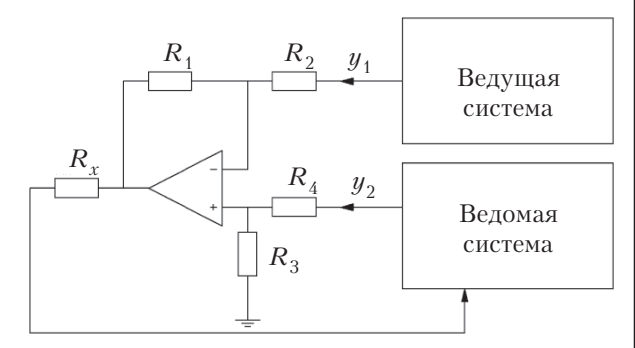


Рис. 4. Функциональная схема синхронизации двух хаотических систем линейной обратной связью (сопротивление резисторов $R_1 \dots R_4 - 10$ кОм)

Ведущую и ведомую системы Лю, можно описать системами линейных дифференциальных уравнений первого порядка следующего вида [8]:

$$\dot{x}_1 = a(y_1 - x_1), \quad \dot{y}_1 = bx_1 - hx_1z_1 + \lambda w_1,
\dot{z}_1 = cx_1^2 - dz_1, \quad \dot{w}_1 = -ny_1$$
(3)

И

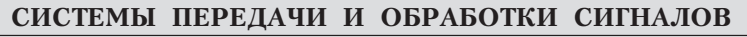
$$\dot{x}_{2} = a(y_{2} - x_{2}),
\dot{y}_{2} = bx_{1} - hx_{2}z_{2} + \lambda w_{2} + e(y_{1} - y_{2}),
\dot{z}_{2} = cx_{1}^{2} - dz_{2},
\dot{w}_{2} = -ny_{2},$$
(4)

где $y_1 - y_2 -$ погрешность синхронизации ведущей и ведомой систем.

Ведущая и ведомая системы формируют хаотические сигналы $x_1(t),\ y_1(t),\ z_1(t),\ w_1(t)$ и $x_2(t),\ y_2(t),\ z_2(t),\ w_2(t)$ соответственно. В качестве примера рассмотрим обеспечение процесса синхронизации сигналов $y_1(t)$ и $y_2(t)$ ведущей и ведомой систем.

Для моделирования процесса синхронизации ведущей и ведомой систем использовалась программная среда Micro-cap 9.

Глубина связи между системами регулируется изменением величины сопротивления R_x . Качественно о степени корреляции между сигналами $y_1(t)$ и $y_2(t)$ при разных значениях R_x можно



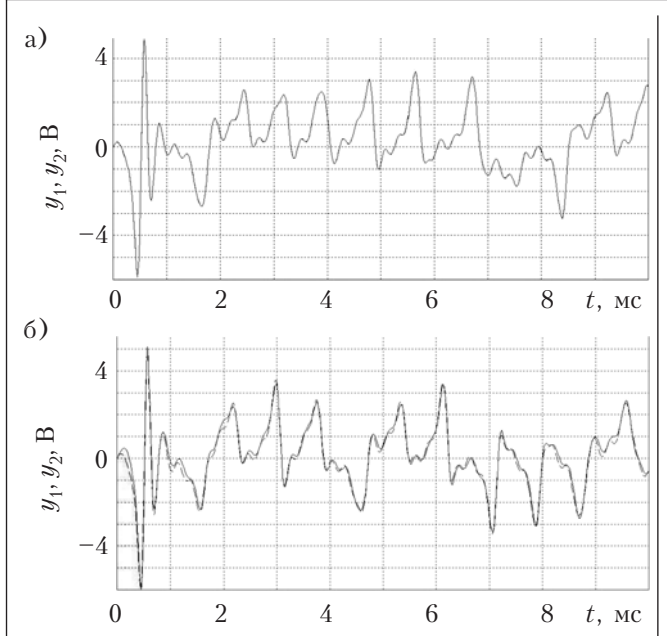
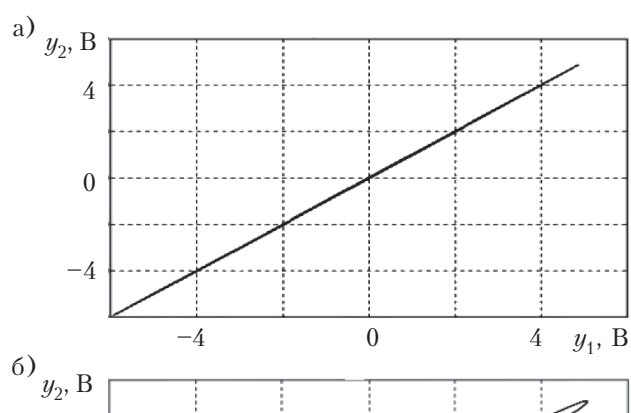


Рис. 5. Временные диаграммы хаотических сигналов y_1 и y_2 для исследуемой системы при значениях $R_r=100$ Ом (a) и $R_r=3$ кОм (б)



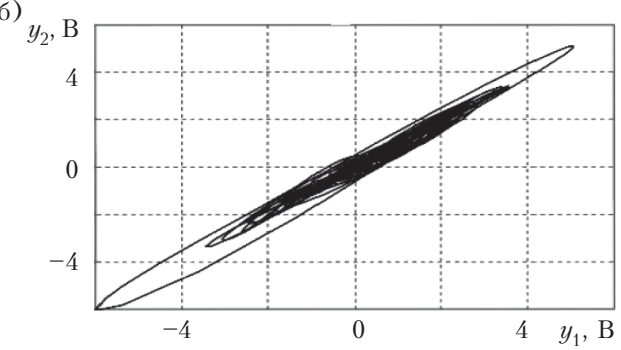
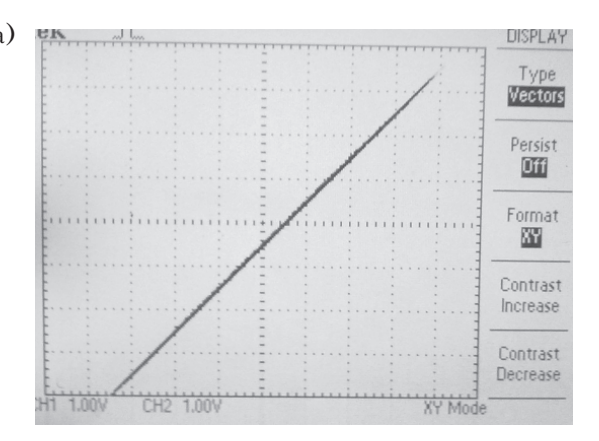


Рис. 6. Зависимость амплитуды сигнала y_2 от амплитуды сигнала y_1 для исследуемой системы при R_x =100 Ом (a) и R_x =3 кОм (b)

судить по их временным диаграммам, приведенным на **рис. 5**: при R_x =100 Ом диаграммы идентичны, что указывает на синхронизацию ведущей и ведомой систем, в отличие от R_x = 3 кОм. Дальнейшее увеличение сопротивления R_x приводит к полной десинхронизации систем.

Наличие синхронизации исследуемых систем подтверждается зависимостями амплиту-



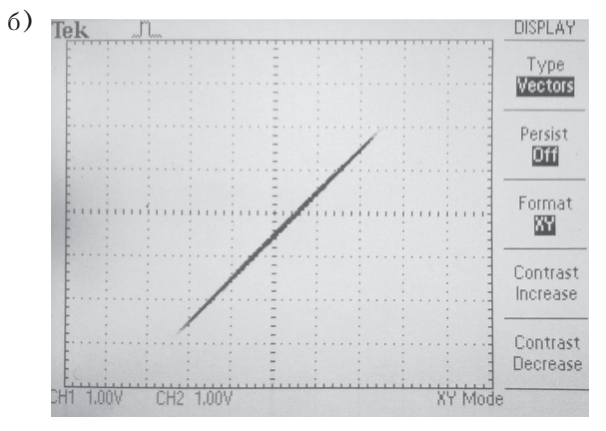


Рис. 7. Экспериментальные зависимости $x_2 = f(x_1)$ (*a*) и $y_2 = f(y_1)$ (*б*)

ды сигнала ведомой системы $y_2(t)$ от амплитуды сигнала $y_1(t)$ ведущей, которые приведены на **рис. 6**, a: при R_x =100 Ом зависимость y_2 = $f(y_1)$ линейна с углом наклона $\phi = \pi/4$, что указывает на идентичность сигналов. Увеличение сопротивления R_x до 3 кОм приводит к десинхронизации систем (рис. 6, δ).

Из результатов экспериментальных исследований режима синхронизации ведущей и ведомой систем, приведенных на **рис.** 7, следует, что синхронизация сигналов $x_1(t)$ и $x_2(t)$ (рис. 7, a) обеспечивается установлением синхронизации сигналов $y_1(t)$ и $y_2(t)$ (рис. 7, a).

Хаотическое маскирование

Хаотическое маскирование является одним из самых простых способов скрытой передачи информации [7, 9]. При хаотическом маскировании информационный сигнал аддитивно подмешивается к хаотическому сигналу в сумматоре на выходе ведущей системы, после чего результирующий сигнал передается по каналу связи. Синхронизация системы связи осуществляется установлением одинаковых динамических режимов работы приемной и передающей частей системы связи с помощью переданного и идентичного ему сигнала, сгенерированного приемной стороной. На приемной стороне происходит детектирова-

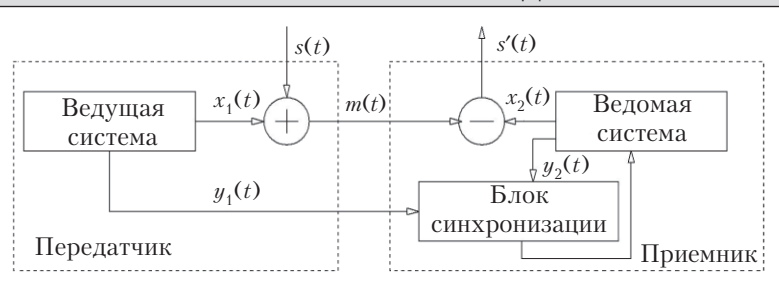


Рис. 8. Структурная схема передачи информации с хаотическим маскированием

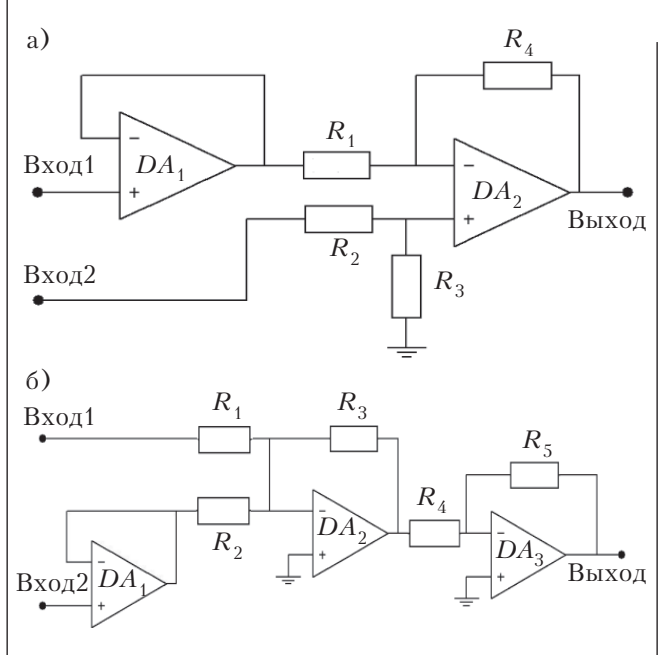


Рис. 9. Схемы вычитания (a) и суммирования (δ) аналоговой информации (сопротивление резисторов $R_1 \dots R_4 - 10$ кОм)

ние информационного сигнала путем вычитания от принятого сигнала синхронного отклика.

На **рис. 8** приведен возможный вариант структурной схемы передачи информации с хаотическим маскированием.

Моделирование работы системы передачи информации осуществлялось также в программной среде Місго-сар 9. Нелинейный передатчик системы состоит из генератора хаотических колебаний и блока суммирования сиг-

налов, а приемник — из идентичного генератора и блока вычитания. В качестве генератора хаотических колебаний в передатчике и приемнике использовалась система Лю, описываемая дифференциальными уравнениями (1). Экспериментально система передачи информации была реализована на операционных усилителях и аналоговых умножителях сигналов. В блоках суммирования и вычитания сигналов (рис. 9) первый операционный усилитель выполняет функцию буфера.

Генераторы хаотических колебаний в ведущей и ведомой системах формируют сигналы $x_1(t), y_1(t), z_1(t), w_1(t)$ и $x_2(t), y_2(t), z_2(t), w_2(t)$, обладающие свойствами хаотической динамики. Синхронизация сигналов $x_1(t)$ и $x_2(t)$ системы обеспечивается путем установления синхронизации сигналов y1(t) и y2(t) с помощью схемы линейной обратной связи (см. рис. 4). Информационный сигнал s(t), просуммированный с несущим хаотическим сигналом $x_1(t)$, передается по линии связи. В качестве информационного сигнала выбиралась синусоида с амплитудой 3 В и частотой 600 Гц. В приемной

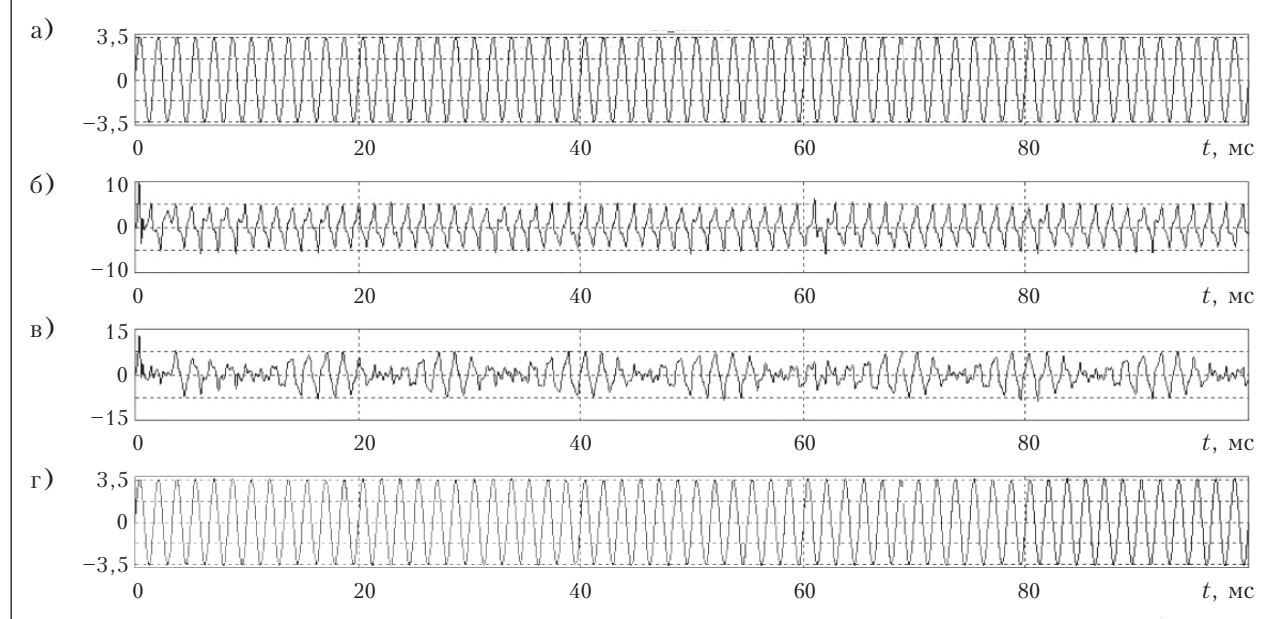
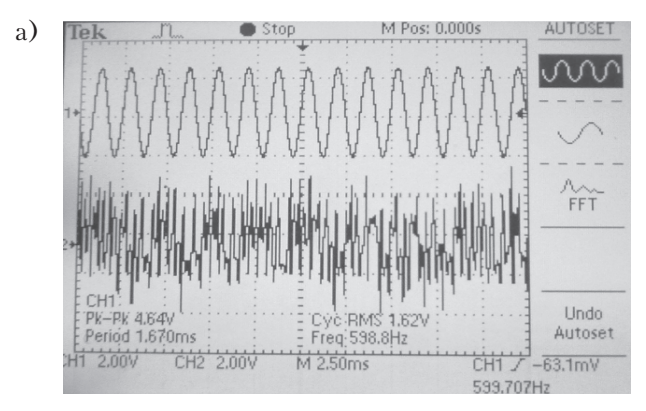
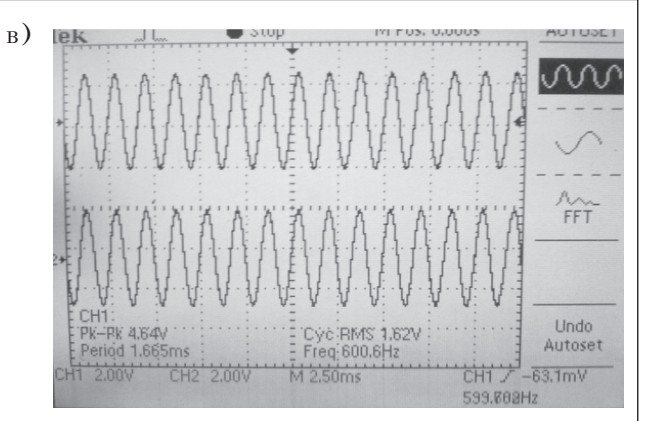
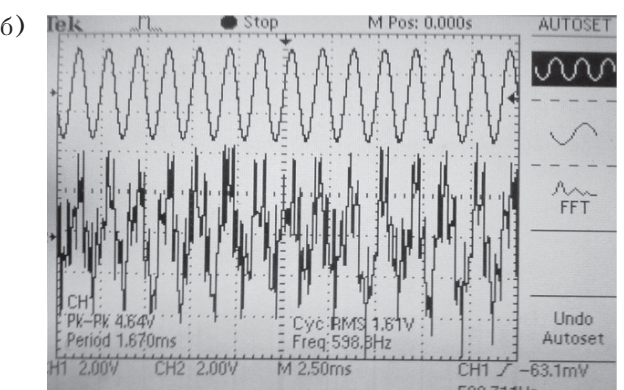


Рис. 10. Полученные в результате моделирования временные диаграммы амплитуды сигналов (в вольтах): a — входной информационный сигнал; δ — хаотический сигнал; ϵ — аддитивна смесь информационного и хаотического сигналов; ϵ — выходной сигнал на приемной стороне системы







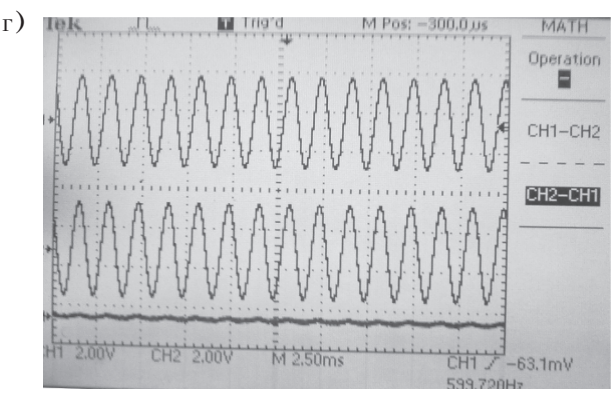


Рис. 11. Экспериментальные временные диаграммы сигналов:

a — входной информационный сигнал и хаотический сигнал; δ — входной информационный сигнал и переданный по линии связи модулированный сигнал; ϵ — информационный сигнал на входе и выходе системы; ϵ — информационный сигнал на входе, выходе системы и разница между ними

части системы происходит вычитание от модулированного сигнала m(t) хаотического сигнала $x_2(t)$, синхронизированного с $x_1(t)$, в результате чего получается выходной информационный сигнал. При моделировании предполагалось, что канал связи является идеальным.

Из полученных в результате моделирования временных диаграмм, приведенных на рис. 10, следует, что выходной сигнал на приемной стороне совпадает с входным информационным сигналом.

Результаты моделирования процесса передачи информации с хаотическим маскироваием были подтверждены экспериментальными исследованиями, в которых использовался синусоидальный информационный сигнал частотой 600 Гц и амплитудой 1,6 В, формируемый генератором низкочастотных сигналов ГЗ-118. В качестве генератора хаотических колебаний использовался генератор, описываемый системой дифференциальных уравнений (1), свойства которого исследованы в [10].

Как следует из представленных на **рис. 11** экспериментальных временных диаграмм, разница между полученным сигналом на приемной стороне системы связи и переданным информационным сигналом незначительна (рис. 11, *г*), что указывает на возможность использования

предложенной системы для передачи информации с хаотическим маскированием.

Проведенные исследования позволили реализовать на базе системы Лю генератор различных видов колебаний и синхронизировать два таких генератора с помощью линейной обратной связи, а также реализовать систему связи с использованием генераторов хаотических колебаний.

ИСПОЛЬЗОВАННЫЕ ИСТОЧНИКИ

- 1. Wang Fa-Qiang, Liu Chong-Xin. Hyperchaos evolved from the Liu chaotic system // Chinese Physics. 2006. Vol. 15, N 5. P. 963-968.
- 2. Luo Xiao-Hua, Luo Xiao-Hua et al. Circuitry implementation of a novel four-dimensional nonautonomous hyperchaotic Liu system and its experimental studies on synchronization control // Chinese Physics B. 2009. Vol. 18, N 6. P. 2168—2175.
- 3. Jinhu Lu, Guanrong Chen, Suochun Zhang. The compound structure of a new chaotic attractor // Chaos, Solitons and Fractals. 2002. N 14. P. 669-672.
- 4. Шахтарин Б. И., Кобылкина П. И., Сидоркина Ю. А. Генераторы хаотических колебании: учебн. пособие. Москва: Гелиос АРВ, 2007. [Shakhtarin B. I., Kobylkina P. I., Sidorkina Yu. A. Generatory khaoticheskikh kolebanii: uchebn. posobie. Moscow: Gelios ARV, 2007]
- 5. Кузнецов С. П. Динамический хаос. Москва: Издво Физматлит, 2001. [Kuznetsov S. P. Dinamicheskii khaos. Moscow: Izd-vo Fizmatlit, 2001]

6. Іванюк П. В., Політанський Р. Л. Розрахунок спектру показників Ляпунова для гіперхаотичних систем // Труди V Міжнар. конфер. CSE-2011 "Комп'ютерні науки та інженерія". — Україна, м. Львів. — 2011. — С. 254—255. [Ivanyuk P. V., Politans'kii R. L. Rozrakhunok spektru pokaznikiv Lyapunova dlya giperkhaotichnikh sistem // Trudi V Mizhnar. konfer. CSE-2011 "Komp'yuterni nauki ta inzheneriya". Ukraine, Lviv. 2011. P. 254]

7. Короновский А. А., Москаленко О. И., Храмов А.Е. О применении хаотической синхронизации для скрытной передачи информации // Успехи физических наук. — 2009. — Т. 179, № 12. — С. 1281—1310. [Koronovskii A. A., Moskalenko O. I., Khramov A.E. // Uspekhi fizicheskikh nauk. 2009. Vol. 179, N 12. P. 1281]

8. Іванюк П. В., Політанський Л. Ф., Політанський Р. Л. Синхронізація гіперхаотичних систем Лю оберненим лінійним зв'язком // МРФ'2011. Том 2. Междунар. конфер. «Телекоммуникационные системы и технологии». — Украина, г. Харьков. — 2011. — С. 61—63. [Ivanyuk P. V., Politans'kii L. F., Politans'kii R. L. Sinkhronizatsiya giperkhaotichnikh sistem Lyu obernenim liniinim zv'yazkom // MRF'2011. Том 2. Mezhdunar. konfer. «Telekommunikatsionnye sistemy i tekhnologii». Ukraine, Kharkov. 2011. P. 61]

9. Дмитриев А. С., Панас А. И. Динамический хаос. Новые носители информации для систем связи. — Москва: Физматлит, 2002. [Dmitriev A. S., Panas A. I. Dinamicheskii khaos. Novye nositeli informatsii dlya sistem svyazi. Moscow: Fizmatlit, 2002]

10. Іванюк П. В., Політанський Л. Ф., Політанський Р. Л. Дослідження хаотичних процесів, генерованих системою Лю // Восточно-Европейский журнал передовых технологий. — 2011. — № 4/9 (52). — С. 11—15. [Ivanyuk P. V., Politans'kii L. F., Politans'kii R. L. // Vostochno-Evropeiskii zhurnal peredovykh tekhnologii. 2011. N 4/9 (52). P. 11]

Дата поступления рукописи в редакцию 26.03 2012 г.

Ivanyuk P. V., Politansky L. F., Politansky R. L. Chaotic masking of information signals using generator based on the Liu system.

Keywords: chaos, hyperchaos, chaotic masking, chaotic synchronization, Liu system, Lyapunov exponent spectrum.

Lyapunov exponent spectrum for a chaotic Liu system was calculated in this work. The possibility to set the synchronization between generators based on the system under investigation was shown. A communication system was experimentally realized using chaotic generators.

Ukraine, Yuriy Fedkovych Chernivtsi National University.

Іванюк П. В., Політанський Л. Ф., Політанський Р. Л. **Хаотичне маскування інформаційних сигналів з використанням генератора на базі системи Лю.**

Ключові слова: хаос, гіперхаос, хаотичне маскування, хаотична синхронізація, система Лю, спектр показників Ляпунова.

В роботі розраховано спектр показників Ляпунова для хаотичної системи Лю. Показано можливість встановлення режиму синхронізації між генераторами, що базуються на дослідженій системі. Експериментально реалізовано систему передачі інформації з використанням генераторів хаотичних коливань.

Україна, Чернівецький національний університет імені Юрія Федьковича.

НОВЫЕ КНИГИ

Губарев В. В. Информатика: прошлое, настоящее, будущее.— Москва: Техносфера, 2011.— 432 с.

В пособии излагается взгляд автора на то, что такое информатика, ее состав, основные понятия, концепция описания ее истории и поколений средств вычислительной техники. Особое внимание уделяется хронологии создания базовых средств и технологий информатики, сведениям о лицах, внесших весомый вклад в развитие разных разделов информатики, а также ближайшим перспективам их развития. Содержатся многочисленные справочные, в частности статистические, сведения и перечень междисциплинарных проблемных вопросов, касающихся понятия информации, информатики и ее разделов. В книгу включены учебные и справочные материалы, предназначенные для изучения в рамках учебного процесса при подготовке бакалавров и магистров по направлениям «Информатика и вычислительная техника», «Прикладная математика и информатика», «Программная инженерия», «Системный анализ и управление», «Информационные системы и технологии», «Прикладная информатика» (по отраслям), «Математическое обеспечение и администрирование информационных систем», «Управление в технических системах», «Бизнес-информатика», «Информационная безопасность» и т. п. Пособие может быть полезно студентам, обучающимся по направлениям «Математика и компьютерные науки», «Фундаментальная информатика и информационные технологии», «Интеллектуальные системы в гуманитарной сфере», «Инфо-коммуникационные технологии и системы связи» и т. п., многим преподавателям и аспирантам, а также всем, желающим системно познать, что такое информатика, ее концептуальные основы, структура, история и методология, этапы становления и направления развития.



KHNLN

HOBBIE

